

水壓調節水槽(Surge Tank)에 關한 研究

A Study on the Surge Tank

南 宣 祐
Nahm, Sun Woo

Abstract

For the simplicity in the analytical solution, the simple surge tank has been chosen for the test where an unsteady flow is produced by suddenly closing the valve controlling the discharge. The valve is located immediately downstream from the surge tank. Momentum equations in the penstock and in the surge column are derived. The relationships between the time and the pressure are measured and recorded on the oscillograph and then the calibration of surge column heights and scale readings on the oscillograph trace are made.

The diameter of the penstocks are determined by the trial and error method. The water levels in the surge column are computed by numerical integration of the differential equation of the surge tank. The relationships between the results from the experiment and numerical computation are figured, compared and discussed.

§ 1. 序 論

과 B點 사이에 있어서 다음과 같다.

壓力水路나 水壓管을 通해서 물을 水車에 보낼 때 水車의 負荷가 急히 變하면 즉 Valve를 急히 关그면 流量이 急히 變化하고 管內에는 水擊作用(Water hammer)이 일어난다.

本研究는 Valve를 急히 关그을 때 管內의 不定流에 關하여 考察하고자 한다. 水壓調節水槽에는 이리가지가 있으나 여기서는 試驗 및 解析을 간단히 하기 위하여 아주 간단한 水壓調節水槽(Surge Tank)를 利用하고자 한다. 이 Surge Tank는 Valve를 急히 전문 때 流量의 變化或 不定流가 發生하도록 되어 있으며 Valve는 Surge Tank 바로 下流에 設置된다.

§ 2. 壓力水路內의 運動量 方程式

壓力水路內의 流體기동의 線形運動量方程式은 A點

正會員·東國大學校 工科大學 土木科

— 1973. 3. 28 受理 —

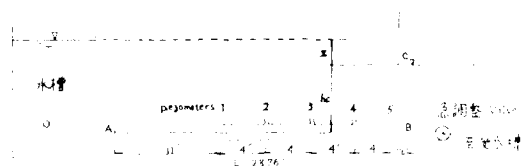
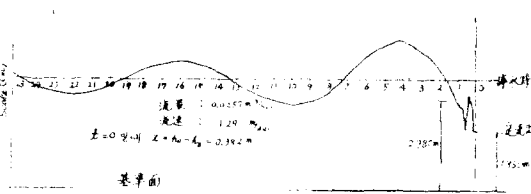


Fig. 1. 水壓調節水槽裝置略圖



註 水溫=29.5°C

停水時調壓水柱高: $h_0=2.66\text{ m}$

定流時調壓水柱高: $h_B=2.278\text{ m}$

Fig. 2. 調壓水槽內의 壓力水頭變化圖

$$\frac{\pi D^2}{4}(P_A - P_B) - \pi D L \tau_0 = \frac{\pi D^2}{4} \rho L \frac{dV}{dt} \quad \dots(1)$$

여기서 P_A 및 P_B 는 A 점과 B 점에 있어서의壓力이고 D 는 管徑이고 L 는 壓力水路의 길이이며 V 는 流速이고 τ_0 는 管壁의剪斷應力度 즉

$$\tau_0 = \frac{f}{8} \rho V^2 \quad \dots(2)$$

이다. (1)式에 (2)式을 代入하여 水頭 $h = \frac{P}{\rho g}$ 로 表示하면

$$h_A - h_B - \frac{V^2}{2g} \cdot \frac{fL}{D} = \frac{L}{g} \cdot \frac{dV}{dt} \quad \dots(3)$$

와 같다.

§ 3. 調壓水槽內의 運動量方程式

調壓水槽內의 BC 水柱(물기둥)의 運動量方程式은

$$\begin{aligned} & \frac{\pi D_B}{4}(P_B - O) - \frac{\pi D_B^2}{4}(wh_c - O) - \pi \tau_0 D_B L_B \\ & - \frac{\pi D_B^2}{4} \cdot \frac{\rho V^2}{2} K_B = \frac{\pi D_B^2}{4} \rho L_B \frac{dV_B}{dt} \end{aligned} \quad \dots(4)$$

이 式에서 D_B 및 L_B 는 調壓水槽의 直徑 및 높이이고 V_B 는 調壓水槽內의 流速이며 K_B 는 B 점에서의 굴곡과 擴大에 依한 저항係數이다.

萬一 K_B 가 直徑 D 에서 D_B 로 擴大함에 의해서 생기는 저항계수라고 한다면

$$K_B = \left[1 - \left(\frac{D_B}{D} \right)^2 \right]^2 \quad \dots(5)$$

이고 (4)式을 壓力水頭로 表示하면

$$\begin{aligned} h_B - h_C - \frac{V^2}{2g} \frac{f_B L_B}{D_B} - K_B \frac{V^2}{2g} &= \frac{L_B}{g} \\ \frac{dV_B}{dt} \end{aligned} \quad \dots(5)$$

이 식에서 f_B 는 Darcy-Weisbach의 調壓水槽壁 저항계수이다.

§ 4. 水壓調節水槽의 方程式

水槽內의水面高는 運動量 方程式(3) 및 (6)과 壓力水路內와 調壓水槽內의 連速方程式을 結合한 微分方程式에 依하여 表示할 수 있다. 壓力管水路의 入口에서의 水頭損失은 定流와 不定流에 對하여 同一하다고 假定하면 損失係數 K_A 는 다음 式으로 表示된다.

$$h_A = h_0 - (1 + K_A) \frac{V^2}{2g} \quad \dots(7)$$

여기서 (3), (6) 및 (7)式을 結合하면

$$h_0 = h_B - \left(1 + K_A + K_B + \frac{fL}{D} \right) \frac{V^2}{2g} - \frac{f_B L_B}{D_B}.$$

$$\frac{V_B^2}{2g} = \frac{L_B}{g} \frac{dV_B}{dt} + \frac{L}{g} \frac{dV}{dt} \quad \dots(8)$$

壓力水路와 調壓水槽內의 連續方程式으로부터

$$V_B = \left(\frac{D}{D_B} \right)^2 V \quad \dots(9)$$

(4)式을 t 에 關하여 微分하면

$$\frac{dV_B}{dt} = \left(\frac{D}{D_B} \right)^2 \frac{dV}{dt} \quad \dots(10)$$

(8)式에 (9) 및 (10)式을 代入하고 $h_0 - h_C = Z$ 로 表示하면

$$Z = \left[1 + K_A + K_B + \frac{fL}{D} + \frac{f_B L_B}{D_B} \left(\frac{D}{D_B} \right)^4 \right] \frac{V^2}{2g}$$

$$= \frac{L}{g} \left[L + \frac{L_B}{L} \left(\frac{D}{D_B} \right)^2 \right] \frac{dV}{dt} \quad \dots(11)$$

(9)式과 (10)式을 微增分形으로 表示하면 다음과 같이 表示할 수 있다.

$$\Delta z = - \left(\frac{D}{D_B} \right)^2 V \Delta t \quad \dots(12)$$

$$\Delta V = \frac{\frac{g}{L} \left[z - \left(1 + K_A + K_B + \frac{fL}{D} + \frac{f_B L_B}{D_B} \left(\frac{D}{D_B} \right)^4 \right) \frac{V^2}{2g} \right] \Delta t}{1 + \frac{L_B}{L} \left(\frac{D}{D_B} \right)^2} \quad \dots(13)$$

§ 5. 試驗裝置

一定水頭을 유지할 수 있는 大容量의 水槽(貯水池), 2"直徑의 亂射管으로 된 壓力水路, 4.5"直徑의 plastic製 透明水槽, 壓力水路의 入口는 6"×2"의 圓錐形 減縮小管으로 되고 調壓水槽은 4"×2"의 鐵鐵製 T字管으로 壓力水路에 連結된다. 또 gate valve는 調壓水槽 바로 下流에 設置한다. (Fig. 7 참조)

§ 6. 測 定

定流일 때 測定한 값은 다음 表 1과 같다.

B 點에서의 時間과 壓力 사이의 關係는 壓力計에 依

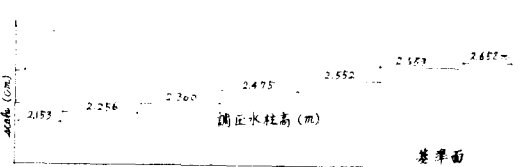


Fig. 3. 調壓水柱의 OSCILLOGRAPH

〈表-1〉

| Item | 單位 | 測定番號 | | | | | | |
|--|-----|-------|-------|-------|-------|-------|--------|--------|
| | | 1 | 2 | 3 | 4 | 5 | 6 | 7 |
| Piezometer No. 1 No. 2 No. 3 No. 4 No. 5 | cm | 51.0 | 55.9 | 60.9 | 69.59 | 82.40 | 101.00 | 114.70 |
| | cm | 39.3 | 44.7 | 51.1 | 60.7 | 76.30 | 97.6 | 113.7 |
| | cm | 27.3 | 33.6 | 40.7 | 52.3 | 69.4 | 64.2 | 112.5 |
| | cm | 16.2 | 22.6 | 31.0 | 43.7 | 62.9 | 90.5 | 111.2 |
| | cm | | 12.1 | 20.8 | 34.7 | 55.8 | 86.8 | 110.0 |
| 槽(池)水位 水溫 最初重量 最終重量 時 間 | cm | 121.5 | 121.5 | 121.5 | 121.5 | 121.5 | 121.5 | 121.5 |
| | °C | 29.5 | 30.1 | 30.3 | 30.5 | 30.5 | 30.6 | 30.6 |
| | kg | 400 | 400 | 400 | 400 | 400 | 400 | 340 |
| | kg | 500 | 500 | 500 | 500 | 500 | 500 | 400 |
| | Sec | 21.3 | 22.1 | 22.8 | 24.85 | 29.35 | 40.7 | 44.3 |
| | | 21.5 | 22.1 | 22.85 | 24.8 | 29.3 | 40.65 | 44.2 |
| | | 21.2 | 22.05 | 22.9 | 24.75 | 29.3 | 40.75 | 44.35 |

하여 测定하여 Fig. 2 와 같이 oscillograph에 記錄된다. 調壓水槽의 높이와 oscillograph의 높금은 Fig. 3과 같이 表示된다.

여기서 $\frac{dh}{dx}$ 는 piezometer의 壓力水頭勾配이고 Re 는 Reynold 數

$$Re = \frac{VD}{\nu} \dots \dots \dots (16)$$

水槽(貯水池)와 壓力水路間의 任意位置에서 壓力水頭差 $h_0 - h_n$ 는 表-2에 表示되어 있다. 變數 h_0 와 h_n 는 水槽(貯水池) 水位와 n番 地點에서의 壓力水頭를 나타낸다.

Fig. 4는 定流일 때 penstock內의 壓力水頭의 勾配를 表示한다.

2. 第1測定時의 計算

$$\text{第1試算: } Q = \frac{\Delta W}{w \Delta t} = 0.00474(\text{m}^3/\text{sec})$$

$$D = 5.08 \text{ cm} (\text{假定})$$

$$A = 0.00203 \text{ m}^2$$

$$V = \frac{Q}{A} = 2.334 \text{ m/sec}$$

$$Re = \frac{VD}{\nu} = 1.456 \times 10^5$$

f 와 Re 의 關係는 Rouse의 圖表⁽²⁾에서 求하였고 미 끝한 管에서 Re 가 1.456×10^5 일 때 f 의 值은 0.0167이다.

〈表-2〉 Penstock에 設置한 piezometer의 壓力水頭差($h_0 - h_n$)

| Piezometer No. | 測定番號($h_0 - h_n$) (cm) | | | | | | |
|----------------|--------------------------|-------|-------|------|------|------|------|
| | 1 | 2 | 3 | 4 | 5 | 6 | 7 |
| 1 | 70.5 | 65.6 | 60.6 | 52.0 | 39.1 | 20.5 | 6.8 |
| 2 | 82.2 | 76.8 | 70.4 | 60.8 | 45.2 | 3.9 | 7.8 |
| 3 | 94.2 | 87.9 | 80.8 | 69.2 | 52.1 | 27.3 | 9.0 |
| 4 | 105.3 | 98.9 | 90.5 | 77.8 | 58.6 | 31.0 | 10.3 |
| 5 | — | 109.4 | 100.7 | 86.8 | 65.7 | 34.7 | 11.5 |

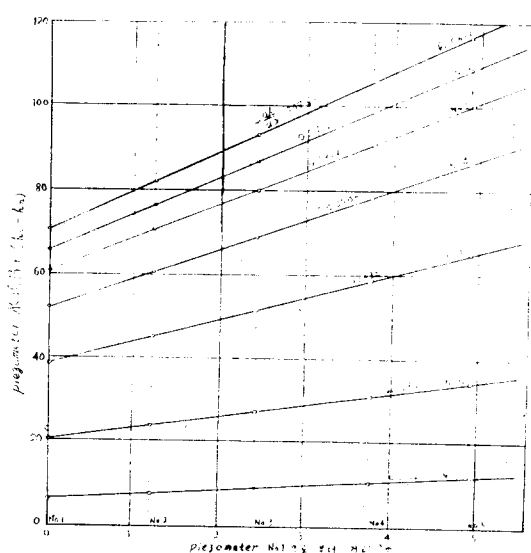


Fig. 4. PIEZOMETER의 壓力水頭와 位置사의 關係曲線圖

第2試算: (14)式에서

$$-\frac{dh}{dx} = 0.0255Q^2 - \frac{f}{D^5} \quad \dots\dots\dots(17)$$

이 (17)式에 $\frac{dh}{dx}$, Q , f 를 대입하면

$$D=5.031 \text{ cm}$$

또 이 D 의 값을 이용하여 f 를 계산하면

$$A = \frac{\pi D^2}{4} = 0.002 \text{ m}^2$$

$$V=2.37 \text{ (m/sec)}$$

$$Re=1.471 \times 10^5$$

(15)式에 대하여 f 의 값은 $f=0.0167$ 을 얻을 수 있다.

그러므로 penstock 의 直徑은 $D=5.03 \text{ cm}$ 이다. 表-3 은 각 경우에 對한 penstock 의 直徑을 求한 計算結果이다. 이 結果에 依하여 penstock 的 平均直徑은 $D=5.06$ 이다.

§ 8. Penstock(壓力水路) 入口 에서의 損失係數 決定

Fig. 5 와 같이 piezometer 의 水頭差(h_0-h_n)를 表示 할 수 있다.

〈表-3〉

Penstock(壓力水路)의 直徑

| 測定番號 | 水溫 °C | w (t/m³) | ΔW (kg) | Δt (sec) | Q m³/sec | $-\frac{dh}{dx}$ | f | D (cm) |
|------|----------|-------------|--------------------|---------------------|-------------|------------------|--------|-----------|
| 1 | 29.5 | 0.9944 | 100.25 | 21.25 | 0.0047 | 0.0968 | 0.0167 | 5.03 |
| 2 | 30.1 | 0.9942 | 100.25 | 22.1 | 0.0045 | 0.0912 | 0.0168 | 5.03 |
| 3 | 30.3 | 0.9941 | 100.25 | 22.85 | 0.0044 | 0.0812 | 0.0170 | 5.09 |
| 4 | 30.44 | 0.9940 | 100.25 | 24.8 | 0.0041 | 0.0705 | 0.0169 | 5.06 |
| 5 | 30.44 | 0.9940 | 100.25 | 29.3 | 0.0034 | 0.0536 | 0.0175 | 50.3 |
| 6 | 30.55 | 0.9940 | 100.25 | 40.7 | 0.0025 | 0.0280 | 0.0187 | 5.12 |
| 7 | 30.55 | 0.9940 | 60.15 | 44.3 | 0.0014 | 0.0102 | 0.0213 | 5.03 |

§ 9. 水壓調節水槽의 微分方程式의 數值積分

(12), (13)式을 積分하기 위한 物理量을 $K_A=0.34$, $K_B=0.65$, $L_B=156.085 \text{ (cm)}$, $f_B=0.020$ と 하면 (13)式에서

〈表-4〉

Penstock 入口에서의 損失係數

| 測定番號 | Q (m³/sec) | V (m/sec) | Re | $\frac{V^2}{2g}$ (cm) | h_0-h_4 (cm) | h_0-h_1 (cm) | Y_1 (cm) | Y_2 (cm) | h_0-h_A (cm) | He (cm) | K_A |
|------|---------------|--------------|--------------------|--------------------------|-------------------|-------------------|---------------|---------------|-------------------|--------------|-------|
| 1 | 0.00474 | 2.356 | 1.47×10^5 | 28.377 | 106.0 | 70.5 | 35.5 | 32.5 | 37.9 | 9.479 | 0.334 |
| 2 | 0.0045 | 2.265 | 1.43×10^5 | 26.243 | 99.0 | 65.6 | 33.4 | 30.6 | 35.0 | 8.748 | 0.333 |
| 3 | 0.0045 | 2.185 | 1.35×10^5 | 24.414 | 90.5 | 60.7 | 29.7 | 27.2 | 33.5 | 9.053 | 0.370 |
| 4 | 0.0041 | 2.018 | 1.28×10^5 | 20.818 | 77.7 | 52.0 | 25.7 | 23.6 | 28.4 | 7.559 | 0.363 |
| 5 | 0.0034 | 1.707 | 1.09×10^5 | 14.874 | 58.6 | 39.1 | 19.5 | 17.8 | 21.2 | 6.340 | 0.426 |
| 6 | 0.0025 | 1.244 | 7.86×10^4 | 7.894 | 30.7 | 20.5 | 10.2 | 9.3 | 11.2 | 3.292 | 0.417 |
| 7 | 0.0014 | 0.677 | 4.31×10^5 | 2.396 | 10.3 | 6.6 | 3.7 | 3.4 | 3.2 | 0.823 | 0.351 |

貯水池(水槽)에서 penstock로 流入할 때 있는 損失水頭는

$$He=h_0-h_A-\frac{V^2}{2g} \quad \dots\dots\dots(18)$$

이기자 損失係數 K_A 는

$$K_A=\frac{He}{V^2/2g}$$

$$Y_1=(h_0-h_4)-(h_0-h_1)$$

$$Y_2=Y_1 \times \frac{11}{12}$$

$$h_0-h_A=(h_0-h_1)-Y_2 \text{ 이다.}$$

K_A 및 He 의 値을 求하면 表-4 와 같이 計算된다.

이기자 K_A 의 平均值은 0.340임을 알 수 있다. Fig. 5에서 B點의 損失係數 $K_B=0.646$ 이다.



Fig. 5. 壓力水路內의 水頭傾斜線

$$\frac{f_B L_B}{D_B} \left(\frac{D}{D_B} \right)^4 = 0.01$$

이 된다. 고로 (12) 및 (13) 式은 각각

$$\Delta Z = -0.196 V \Delta t \dots\dots\dots\dots\dots (12a)$$

表 -5

調壓水柱의 水位計算表

| ① <i>t</i> | ② V (m/sec) | ③ ΔZ (m) | ④ Z (m) | ⑤ $Re = \frac{VD}{\nu}$ | ⑥ <i>f</i> | ⑦ 173.2 <i>f</i> | ⑧ 2.0 + ⑦ | ⑨ $\frac{V^2}{2g}$ | ⑩ $⑧ \times ⑨$ | ⑪ $Z - ⑩$ (m) | ⑫ $\Delta V = 0.54 \times 10$ (m/sec) |
|---------------|-------------------|------------------------|---------------|----------------------------|---------------|---------------------|--------------|-----------------------|-------------------|---------------------|---|
| 0 | 1,286 | 0 | 0.384 | — | — | — | — | — | — | — | — |
| 0.5 | 1,186 | -0.125 | 0.259 | 8.0×10^5 | 0.019 | 3.29 | 5.29 | 0.084 | 0.444 | -0.185 | -0.100 |
| 1.0 | 1,052 | -0.116 | 0.143 | 7.4×10^5 | 0.020 | 3.46 | 5.46 | 0.072 | 0.393 | -0.250 | -0.135 |
| 1.5 | 0.905 | -0.104 | 0.039 | 6.5×10^5 | 0.020 | 3.46 | 5.46 | 0.056 | 0.306 | -0.267 | -0.144 |
| 2.0 | 0.756 | -0.088 | -0.049 | 5.6×10^5 | 0.020 | 3.46 | 5.46 | 0.042 | 0.229 | -0.278 | -0.150 |
| 2.5 | 0.601 | -0.073 | -0.122 | 4.7×10^5 | 0.021 | 3.46 | 5.64 | 0.029 | 0.158 | -0.280 | -0.152 |
| 3.0 | 0.445 | -0.058 | -0.179 | 3.7×10^5 | 0.022 | 3.81 | 5.81 | 0.018 | 0.105 | -0.284 | -0.153 |
| 3.5 | 0.293 | -0.043 | -0.223 | 2.8×10^5 | 0.024 | 4.16 | 6.16 | 0.010 | 0.062 | -0.286 | -0.154 |
| 4.0 | 0.143 | -0.027 | -0.247 | 1.8×10^5 | 0.026 | 4.51 | 6.51 | 0.004 | 0.026 | -0.273 | -0.147 |
| 4.5 | -0.030 | -0.015 | -0.262 | 8.9×10^3 | 0.032 | 5.54 | 7.54 | 0.001 | 0.008 | -0.270 | -0.146 |
| 5.0 | -0.143 | +0.000 | -0.262 | — | — | — | — | — | — | -0.262 | -0.142 |
| 5.5 | -0.274 | +0.015 | -0.247 | 8.9×10^3 | 0.032 | 5.54 | 7.54 | -0.001 | -0.008 | -0.239 | -0.129 |
| 6.0 | -0.378 | +0.027 | -0.219 | 1.7×10^4 | 0.027 | 4.68 | 6.68 | -0.004 | -0.027 | -0.192 | -0.104 |
| 6.5 | -0.451 | +0.037 | -0.183 | 2.3×10^4 | 0.025 | 4.33 | 6.33 | -0.007 | -0.044 | -0.139 | -0.075 |
| 7.0 | -0.491 | +0.046 | -0.137 | 2.8×10^4 | 0.024 | 4.16 | 6.16 | -0.010 | -0.062 | -0.075 | -0.041 |
| 7.5 | -0.506 | +0.049 | -0.085 | 3.0×10^4 | 0.023 | 3.99 | 5.99 | -0.012 | -0.072 | -0.016 | -0.006 |
| 8.0 | -0.485 | +0.049 | -0.039 | 3.1×10^4 | 0.023 | 3.99 | 5.99 | -0.013 | -0.078 | +0.039 | +0.021 |
| 8.5 | -0.441 | +0.049 | +0.009 | 3.0×10^4 | 0.023 | 3.99 | 5.99 | -0.012 | -0.072 | -0.081 | -0.044 |
| 9.0 | -0.381 | +0.043 | +0.052 | 2.7×10^4 | 0.024 | 4.16 | 6.16 | -0.010 | -0.062 | +0.114 | +0.062 |
| 9.5 | -0.308 | +0.036 | +0.088 | 2.4×10^4 | 0.025 | 4.33 | 6.33 | -0.007 | -0.044 | +0.132 | +0.071 |
| 10.0 | -0.227 | +0.031 | +0.119 | 1.9×10^4 | 0.026 | 4.51 | 6.51 | -0.004 | -0.026 | +0.145 | +0.078 |
| 10.5 | -0.143 | +0.021 | +0.140 | 1.4×10^4 | 0.028 | 4.85 | 6.85 | -0.003 | -0.021 | +0.161 | +0.087 |
| 11.0 | -0.055 | +0.015 | +0.155 | 8.9×10^3 | 0.032 | 5.54 | 7.54 | -0.001 | -0.003 | +0.163 | +0.088 |
| 11.5 | +0.034 | +0.006 | +0.162 | 3.4×10^3 | 0.023 | 3.99 | 5.99 | -0.003 | -0.002 | +0.164 | +0.089 |
| 12.0 | +0.119 | -0.003 | +0.158 | 2.1×10^3 | 0.049 | 6.77 | 8.77 | +0.000 | — | +0.158 | +0.085 |
| 12.5 | +0.195 | -0.012 | +0.146 | 7.4×10^3 | 0.033 | 5.72 | 7.72 | +0.001 | +0.008 | +0.138 | +0.075 |
| 19.5 | — | -0.018 | +0.128 | 1.2×10^4 | 0.029 | 5.03 | 7.03 | +0.002 | +0.014 | +0.114 | +0.062 |

$$\Delta V = 1.079 \left[Z - (2.00 + 173.2f) - \frac{V^2}{2g} \right] \Delta t \dots\dots\dots\dots\dots (13a)$$

로 되어 $V = 1.256 \text{ m/sec}$, $Z = 38.41 \text{ cm}$ 가 初期值라 하면 (12a) 및 (13a) 式에 依한 數值積分結果는 表-5와 같이 구해진다.

§ 10. 調壓水槽 水位測定值의 환산

調壓水柱의 높이를 测定하는 曲線과 記錄된 Scale 은 Fig. 3에 있는 값을 plot 하여 Fig. 6을 得을 수 있다. Fig. 2에 表示한 바와 같은 壓力이 調節되는 長期 水柱의 記錄水位는 Fig. 6을 使用하여 表-6과 같이 구해진다.

〈表-6〉 Oscillograph 와 Calibration

곡선에 의한 調壓水柱의 水位

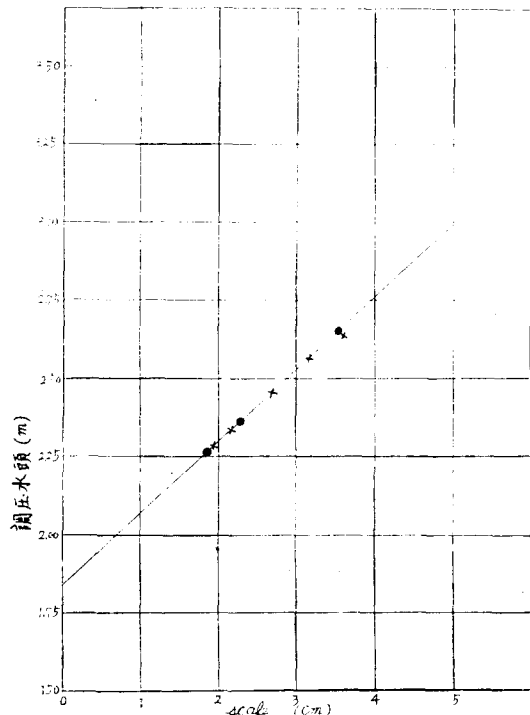


Fig. 6. Oscillograph 의 Scale 과 調壓水柱高 사이의 關係

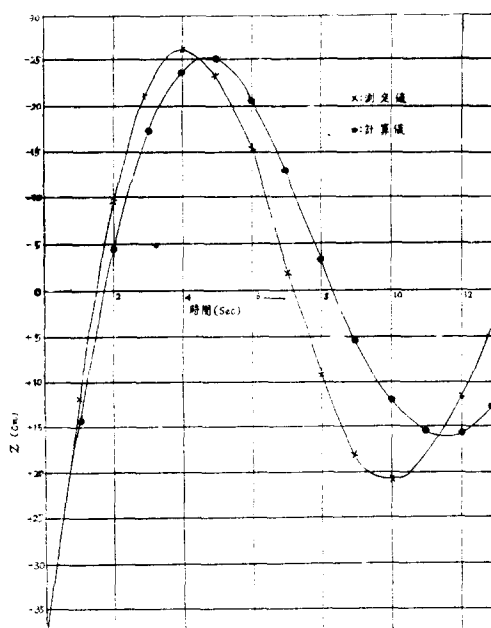


Fig. 7. 調壓水調內水頭의 測定値와 計算値의 曲線

| 時 間 (sec) | Fig. 2 의 Scale (cm) | 水 柱 高 (m) | Z (m) |
|--------------|------------------------|--------------|----------|
| 0 | 1.86 | 2.28 | +0.38 |
| 1 | 2.98 | 2.54 | +0.12 |
| 2 | 3.90 | 2.76 | -0.10 |
| 3 | 4.46 | 2.88 | -0.22 |
| 4 | 4.65 | 2.93 | -0.27 |
| 5 | 4.54 | 2.90 | -0.24 |
| 6 | 4.14 | 2.82 | -0.16 |
| 7 | 3.60 | 2.68 | -0.02 |
| 8 | 3.06 | 2.57 | +0.09 |
| 9 | 2.72 | 2.48 | +0.18 |
| 10 | 2.58 | 2.45 | +0.21 |
| 11 | 2.70 | 2.48 | +0.18 |
| 12 | 3.00 | 2.545 | +0.115 |
| 13 | 3.38 | 2.635 | +0.025 |
| 14 | 3.37 | 2.725 | -0.065 |
| 15 | 3.28 | 2.775 | -0.115 |
| 16 | 4.05 | 2.79 | -0.13 |
| 17 | 3.26 | 2.77 | -0.11 |
| 18 | 3.75 | 2.72 | -0.06 |
| 19 | 3.47 | 2.665 | -0.05 |
| 20 | 3.20 | 2.59 | +0.07 |
| 21 | 3.00 | 2.545 | +0.115 |
| 22 | 2.96 | 2.53 | +0.13 |
| 23 | 3.05 | 2.565 | +0.095 |
| 24 | 3.23 | 2.60 | +0.06 |
| 25 | 3.47 | 2.665 | -0.005 |
| 26 | 3.70 | 2.71 | -0.05 |
| 27 | 3.82 | 2.735 | -0.075 |
| 28 | 3.85 | 2.74 | -0.08 |

§ 11. 結 言

微分方程式 (13)에서 表示한 바와 같이 저항과 質量에 依한 Energy 量이 計算에 포함되었기 때문에 Fig. 7에 表示한 計算結果를 나타내는 曲線과 實驗結果를 나타내는 曲線이 正確히 一致하지 않는다는다. 이는 저항과 質量에 依한 Energy 量이 지나치게 推定되었다고 볼 수 있다.

萬約調壓水調內의 저항 $K_E \frac{\tau^2}{2g}$ 을 생략하고 質量項, $1 + L_B / L(D/D_B)^2 = 1.03$ 을 1로 간소시키면 좀더 實驗結果와 一致 할 수 있었을 것이다.

調壓水柱內의 저항과 質量에 依한 Energy는 實際應用分野에서는 一般으로 생략된다.

測定장치는 비교적 정확했다고 보나 調壓水柱가 壓

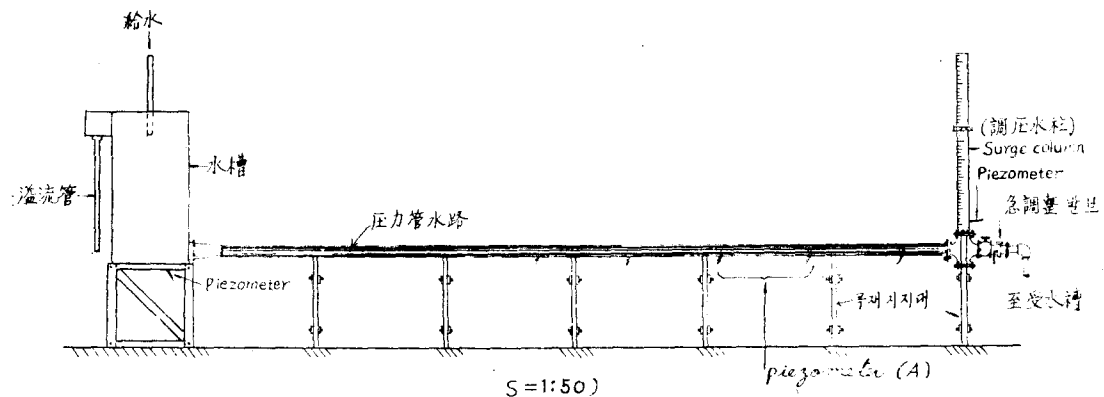


Fig. 8. 實驗裝置一般圖

力水路에連結된곳에 일어나는不等流를 피하도록
Piezometer를 移動시켰으면 좀더確實한實驗結果를
얻지 않았나 한다.

參考文獻

1. 水理學：安守漢著 pp 350~387.
2. Engineering Hydraulics: By Rouse Hunter pp 459~468
3. Surge Tank Stability By phase plane Method: By M. Hanif Chaudhry (1971)
4. The Stability of Surge Tanks: By Paynter, H. M. (1949)
5. Surge and water hammer problems: By Paynter, H.M. (1953)
6. 發電水力工學：金麗澤，崔榮博共著
7. Hand book of Applied Hydraulics: By Davis, Sorensen. pp 28—1~28—34.
8. 水理公式集 (1971); 日本土木學會

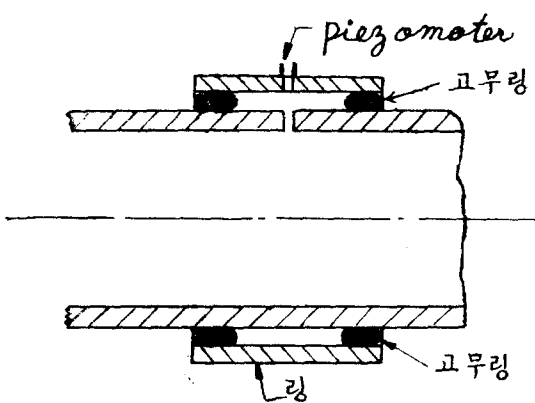


Fig. 9. Piezometer (A) 詳細圖